

Рис. 2. Плеоморфная дольковая карцинома. Гематоксилин-эозин — крупные опухолевые клетки с наличием внутрицитоплазматических вакуолей, образуют тяжи и цепочки, мишеневидные структуры, ув. 10
 Fig. 2. Pleomorphic lobular carcinoma. H&E — large tumor cells with intracytoplasmic vacuoles, forming strands, chains, and targetoid structures (× 10)

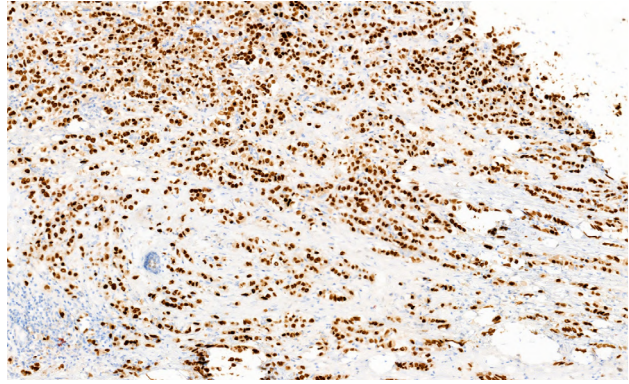


Рис. 3. Плеоморфная дольковая карцинома. Рецепторы эстрогенов — выраженная ядерная экспрессия, ув. 10
 Fig. 3. Pleomorphic lobular carcinoma. ER — strong nuclear expression (× 10)

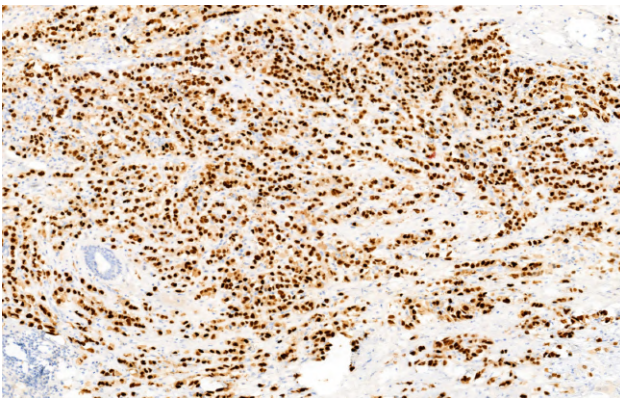


Рис. 4. Плеоморфная дольковая карцинома. Рецепторы прогестеронов — выраженная ядерная экспрессия, ув. 10
 Fig. 4. Pleomorphic lobular carcinoma. PR — strong nuclear expression (× 10)

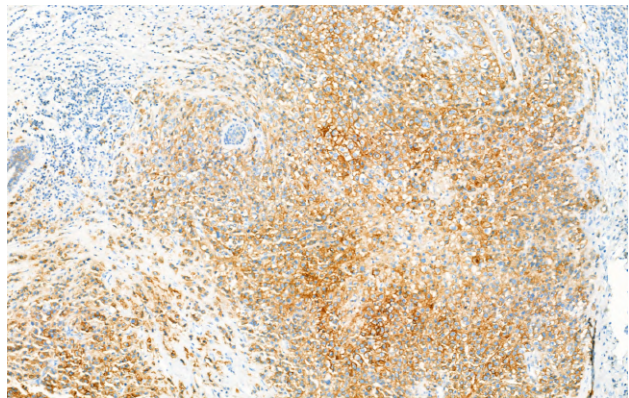


Рис. 5. Плеоморфная дольковая карцинома. *HER2* — умеренное полное мембранное окрашивание более 10 % опухолевых клеток, 2 балла, ув. 10
 Fig. 5. Pleomorphic lobular carcinoma. *HER2* — moderate complete membrane staining (> 10 % of tumor cells, score 2, × 10)

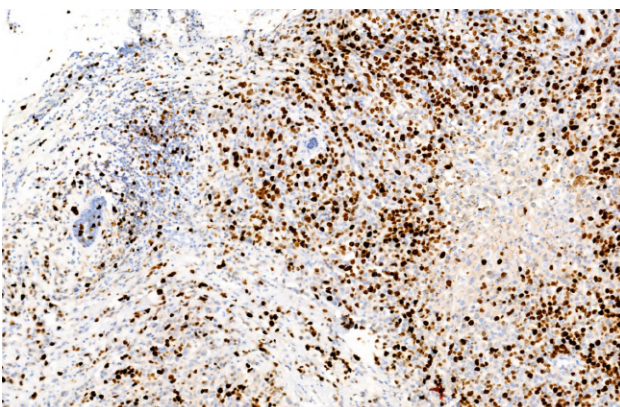


Рис. 6. Плеоморфная дольковая карцинома. Ki-67 — ядерная экспрессия более чем в 70 % опухолевых клеток, ув. 10
 Fig. 6. Pleomorphic lobular carcinoma. Ki-67 — nuclear expression (> 70 % of tumor cells, × 10)

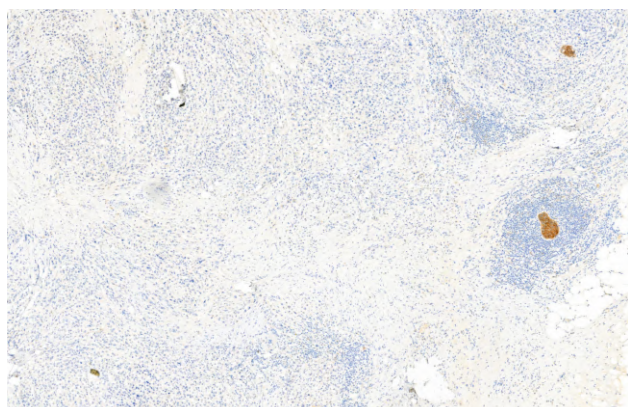


Рис. 7. Плеоморфная дольковая карцинома. E-cadherin — отсутствие мембранного окрашивания опухолевых клеток, ув. 10
 Fig. 7. Pleomorphic lobular carcinoma. E-cadherin — negative membrane staining in tumor cells (× 10)

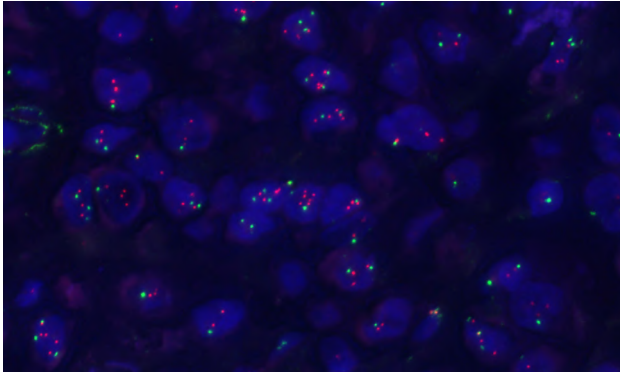


Рис. 8. Плеоморфная дольковая карцинома. FISH *HER2* — распределение красных (ген *HER2*) и зеленых сигналов (*CEP17*) в опухолевых клетках, отсутствие амплификации, ув. 200
 Fig. 8. Pleomorphic lobular carcinoma. FISH *HER2* — distribution of red signals (*HER2* gene) and green signals (*CEP17*) in tumor cells, negative amplification ($\times 200$)

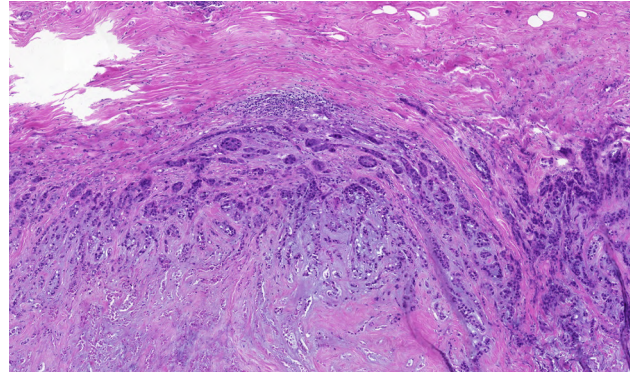


Рис. 9. Метапластический рак (матрикс-продуцирующая карцинома). Гематоксилин-эозин — комплексы опухолевых клеток в гиалиновом матриксе, ув. 10
 Fig. 9. Metaplastic carcinoma (matrix-producing carcinoma) H&E — tumor cell complexes within a hyaline matrix ($\times 10$)

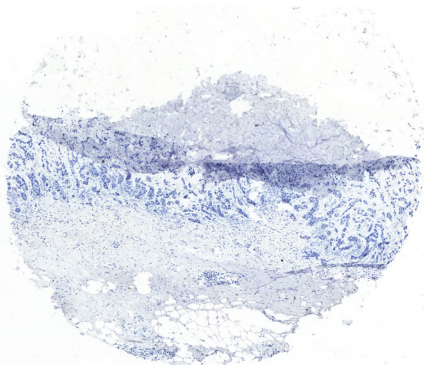


Рис. 10. Метапластический рак (матрикс-продуцирующая карцинома). Рецепторы эстрогенов — отсутствие ядерной экспрессии, ув. 10
 Fig. 10. Metaplastic carcinoma (matrix-producing carcinoma). ER — negative nuclear expression ($\times 10$)

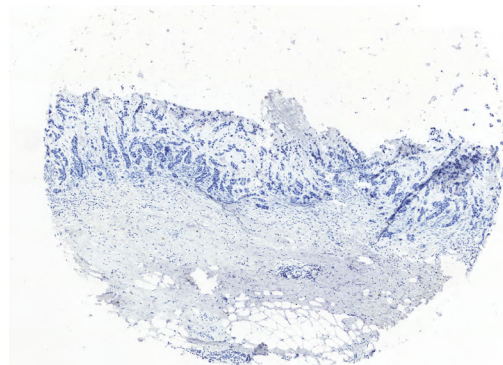


Рис. 11. Метапластический рак (матрикс-продуцирующая карцинома). Рецепторы прогестерона — отсутствие ядерной экспрессии, ув. 10
 Fig. 11. Metaplastic carcinoma (matrix-producing carcinoma). PR — negative nuclear expression ($\times 10$)

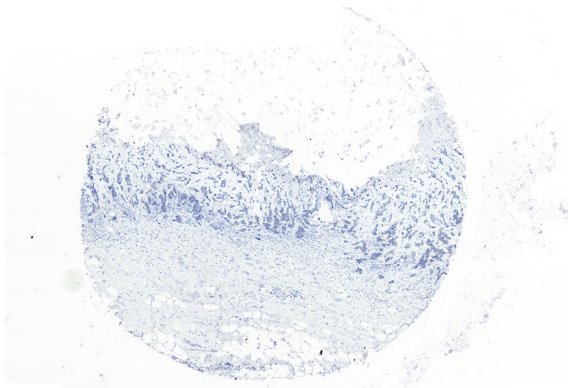


Рис. 12. Метапластический рак (матрикс-продуцирующая карцинома). *HER2* — слабое, едва заметное неполное мембранное окрашивание менее 10 % опухолевых клеток, 0 баллов, ув. 10
 Fig. 12. Metaplastic carcinoma (matrix-producing carcinoma). *HER2* — weak, barely perceptible incomplete membrane staining ($< 10\%$ of tumor cells, score 0, $\times 10$)



Рис. 13. Метапластический рак (матрикс-продуцирующая карцинома). Ki-67 — ядерная экспрессия в 40 % опухолевых клеток, ув. 10
 Fig. 13. Metaplastic carcinoma (matrix-producing carcinoma). Ki-67 — nuclear expression (40 % of tumor cells, $\times 10$)

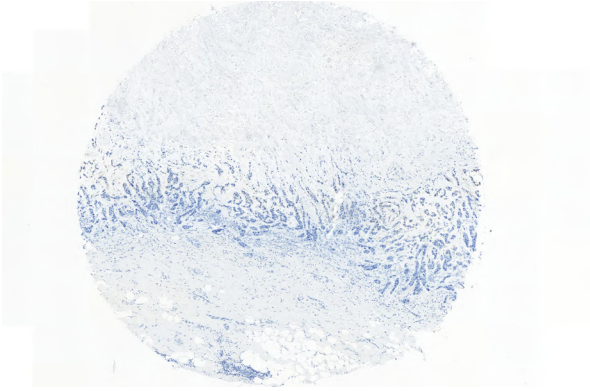


Рис. 14. Метапластический рак (матрикс-продуцирующая карцинома). EGFR — отсутствие мембранного окрашивания опухолевых клеток, 0 баллов, ув. 10

Fig. 14. Metaplastic carcinoma (matrix-producing carcinoma). EGFR — negative membrane staining in tumor cells (score 0, × 10)

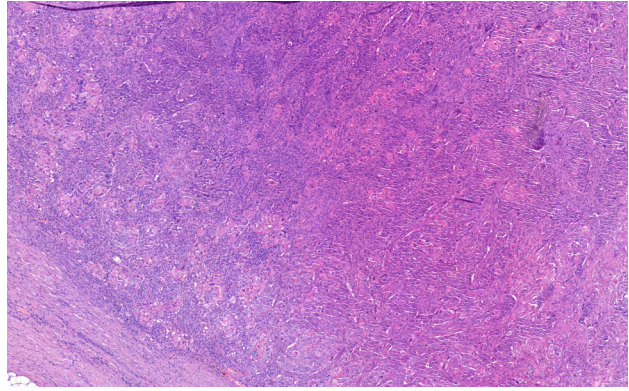


Рис. 15. Метапластический рак с плоскоклеточной дифференцировкой. Гематоксилин-эозин — опухолевые клетки с выраженной плоскоклеточной дифференцировкой, местами образуют комплексы с признаками ороговения, ув. 10

Fig. 15. Metaplastic carcinoma with squamous differentiation. H&E — tumor cells with prominent squamous differentiation, in some areas forming complexes with signs of keratinization (× 10)

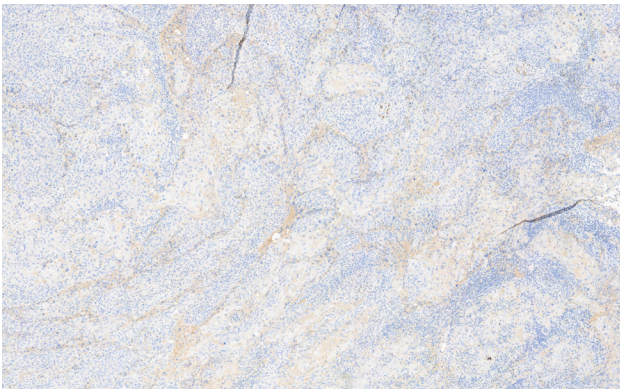


Рис. 16. Метапластический рак с плоскоклеточной дифференцировкой. Рецепторы эстрогенов — отсутствие ядерной экспрессии, ув. 10

Fig. 16. Metaplastic carcinoma with squamous differentiation. ER — negative nuclear expression (× 10)



Рис. 17. Метапластический рак с плоскоклеточной дифференцировкой. Рецепторы прогестерона — отсутствие ядерной экспрессии, ув. 10

Fig. 17. Metaplastic carcinoma with squamous differentiation. PR — negative nuclear expression (× 10)

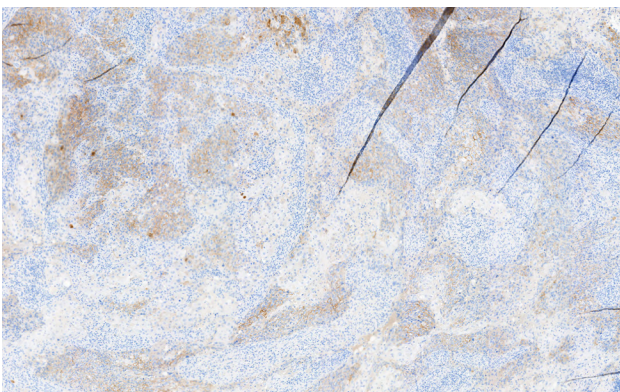


Рис. 18. Метапластический рак с плоскоклеточной дифференцировкой. *HER2* — умеренное полное мембранное окрашивание более чем в 10 % опухолевых клеток, 2 балла, ув. 10

Fig. 18. Metaplastic carcinoma with squamous differentiation. *HER2* — moderate complete membrane staining (> 10 % of tumor cells, score 2, × 10)

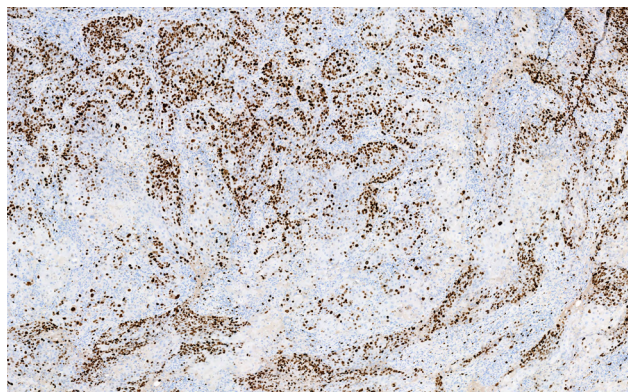


Рис. 19. Метапластический рак с плоскоклеточной дифференцировкой. Ki-67 — ядерная экспрессия более чем в 70 % опухолевых клеток, ув. 10

Fig. 19. Metaplastic carcinoma with squamous differentiation. Ki-67 — nuclear expression (> 70 % of tumor cells, × 10)

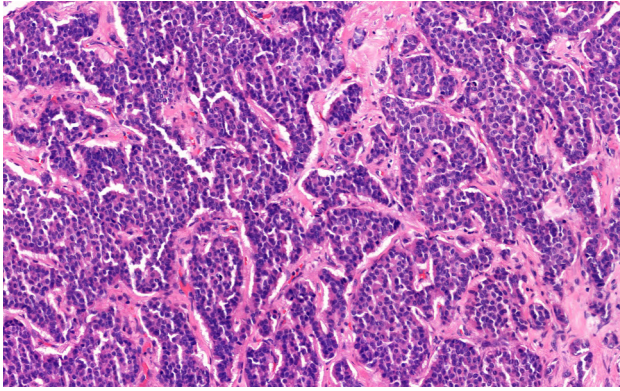


Рис. 20. Нейроэндокринный рак. Гематоксилин-эозин — опухолевые клетки с нейроэндокринной морфологией, гиперхромными ядрами и высоким ядерно-цитоплазматическим соотношением, ув. 10

Fig. 20. Neuroendocrine carcinoma. H&E — tumor cells with neuroendocrine morphology, hyperchromatic nuclei, and a high nuclear-to-cytoplasmic ratio (× 10)

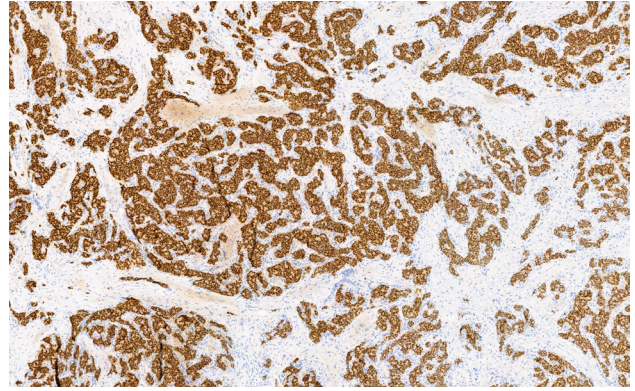


Рис. 21. Нейроэндокринный рак. Рецепторы эстрогенов — выраженная ядерная экспрессия, ув. 10

Fig. 21. Neuroendocrine carcinoma. ER — strong nuclear expression (× 10)

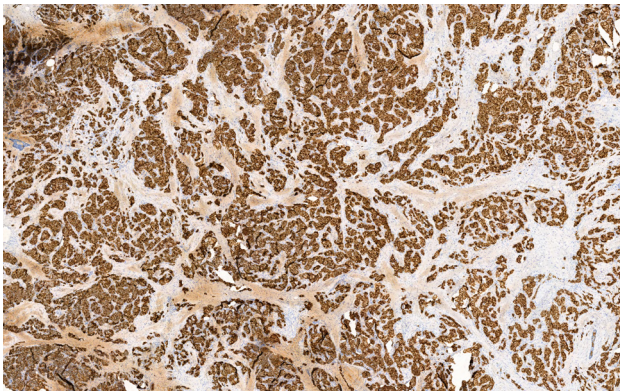


Рис. 22. Нейроэндокринный рак. Рецепторы прогестерона — выраженная ядерная экспрессия, ув. 10

Fig. 22. Neuroendocrine carcinoma. PR — strong nuclear expression (× 10)

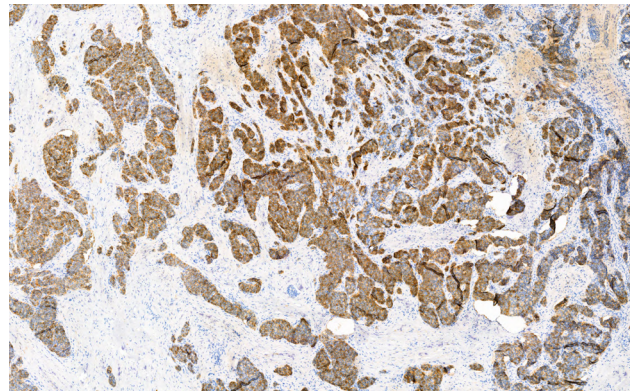


Рис. 23. Нейроэндокринный рак. CD56 — выраженное мембранное окрашивание опухолевых клеток, ув. 10

Fig. 23. Neuroendocrine carcinoma. CD56 — strong membrane staining in tumor cells (× 10)

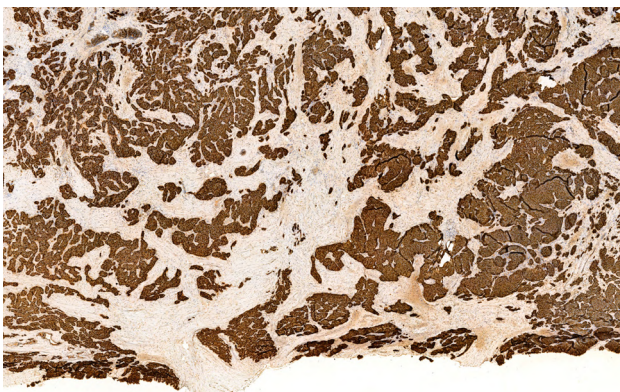


Рис. 24. Нейроэндокринный рак. Хромогранин А — выраженное диффузное цитоплазматическое окрашивание опухолевых клеток, ув. 10

Fig. 24. Neuroendocrine carcinoma. Chromogranin A — strong diffuse cytoplasmic staining in tumor cells (× 10)

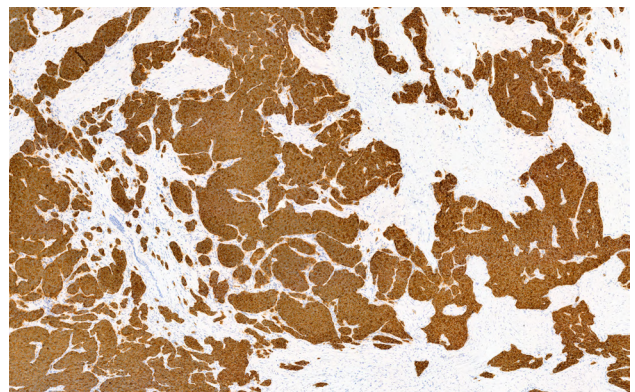


Рис. 25. Нейроэндокринный рак. Синаптофизин — выраженное диффузное цитоплазматическое окрашивание опухолевых клеток, ув. 10

Fig. 25. Neuroendocrine carcinoma. Synaptophysin — strong diffuse cytoplasmic staining in tumor cells (× 10)

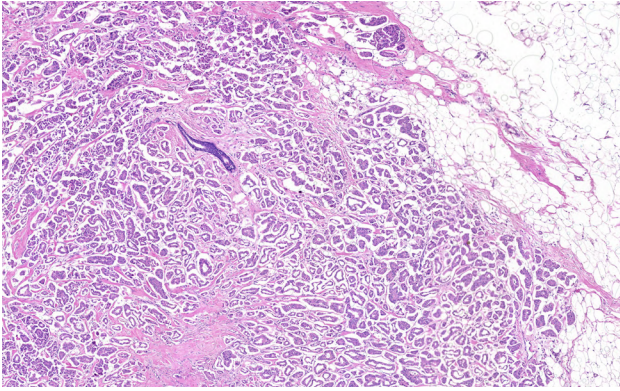


Рис. 26. Микропапиллярная карцинома. Гематоксилин-эозин — опухолевые клетки с обратной полярностью без фиброваскулярных оснований, с выраженными стромальными пространствами, имитирующими папиллярную структуру, ув. 10
 Fig. 26. Micropapillary carcinoma. H&E — tumor cells with reverse polarity, lacking fibrovascular cores but with prominent stromal spaces mimicking papillary architecture (× 10)

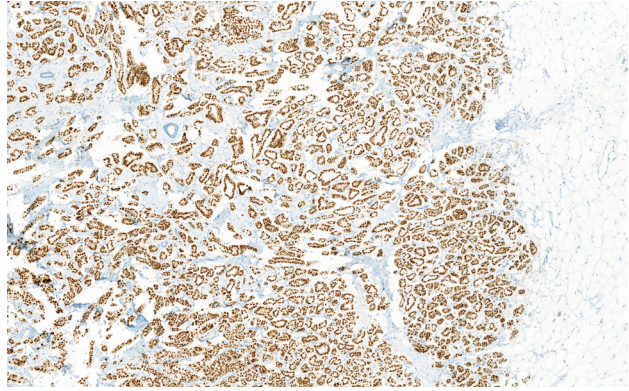


Рис. 27. Микропапиллярная карцинома. Рецепторы эстрогенов — выраженная ядерная экспрессия, ув. 10
 Fig. 27. Micropapillary carcinoma. ER — strong nuclear expression (× 10)

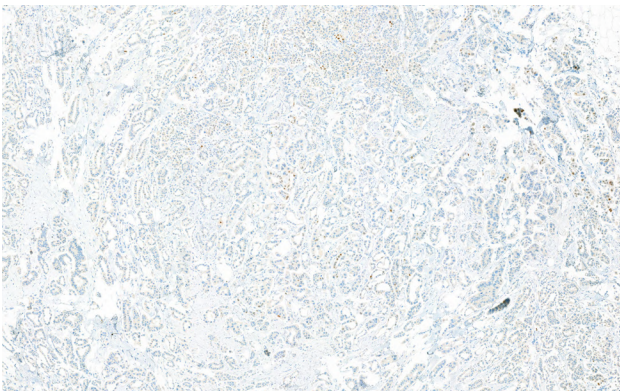


Рис. 28. Микропапиллярная карцинома. Рецепторы прогестерона — ядерная экспрессия в единичных опухолевых клетках, ув. 10
 Fig. 28. Micropapillary carcinoma. PR — nuclear expression in individual tumor cells (× 10)

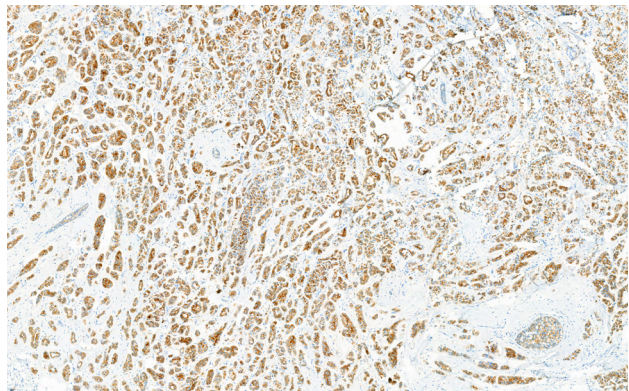


Рис. 29. Микропапиллярная карцинома. *HER2* — сочетание умеренного полного мембранного окрашивания и умеренного базолатерального окрашивания более чем в 10 % опухолевых клеток, 2 балла, ув. 10
 Fig. 29. Micropapillary carcinoma. *HER2* — combination of moderate complete membrane staining and moderate basolateral staining (> 10 % of tumor cells, score 2, × 10)

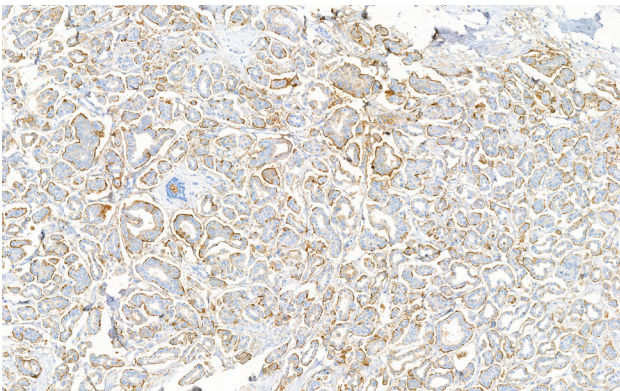


Рис. 30. Микропапиллярная карцинома. MUC-1 — инвертированное окрашивание папиллярных структур при нормальном внутреннем контроле, ув. 10
 Fig. 30. Micropapillary carcinoma. MUC-1 — inverted staining of papillary structures with normal internal control (× 10)

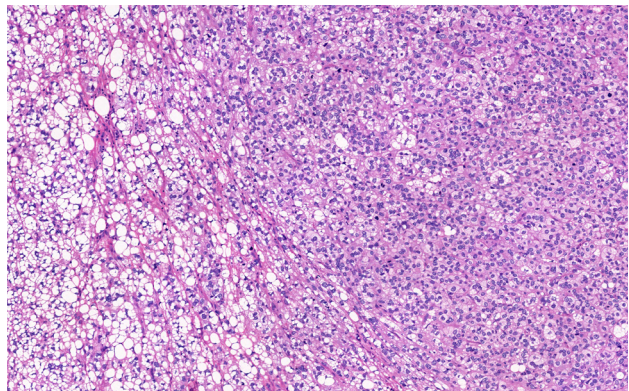


Рис. 31. Сальная карцинома. Гематоксилин-эозин — крупные опухолевые клетки со светлой «пустой» цитоплазмой, крупными ядрами, 2–3-мя крупными ядрышками и большим количеством митозов, ув. 10
 Fig. 31. Sebaceous carcinoma. H&E — large tumor cells with clear “empty” cytoplasm, large nuclei, 2–3 prominent nucleoli, and numerous mitoses (× 10)

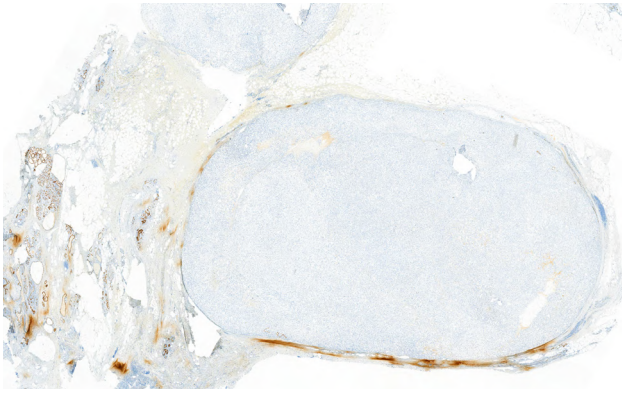


Рис. 32. Сальная карцинома. Рецепторы эстрогенов — отсутствие ядерной экспрессии, ув. 10
Fig. 32. Sebaceous carcinoma. ER — negative nuclear expression (× 10)

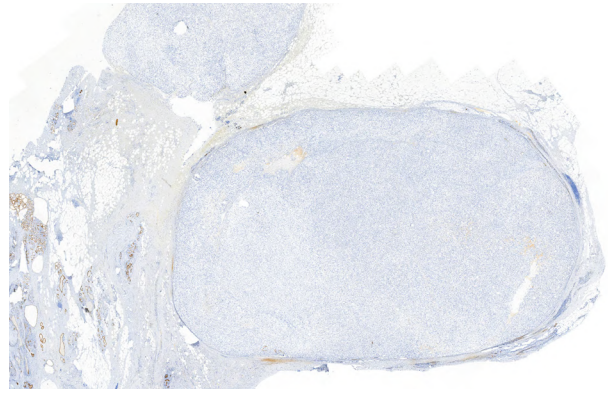


Рис. 33. Сальная карцинома. Рецепторы прогестерона — отсутствие ядерной экспрессии, ув. 10
Fig. 33. Sebaceous carcinoma. PR — negative nuclear expression (× 10)

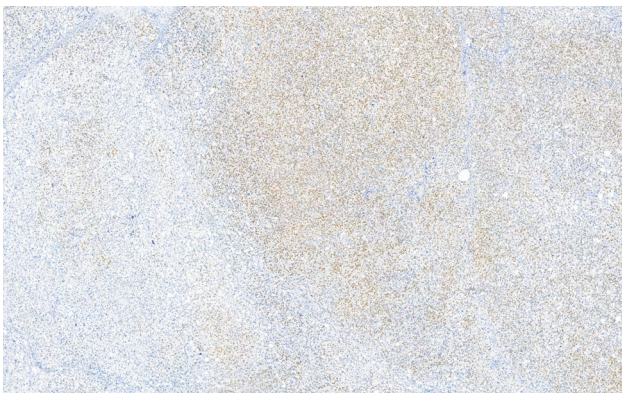


Рис. 34. Сальная карцинома. Рецепторы андрогенов — ядерная экспрессия в опухолевых клетках, ув. 10
Fig. 34. Sebaceous carcinoma. AR — nuclear expression in tumor cells (× 10)

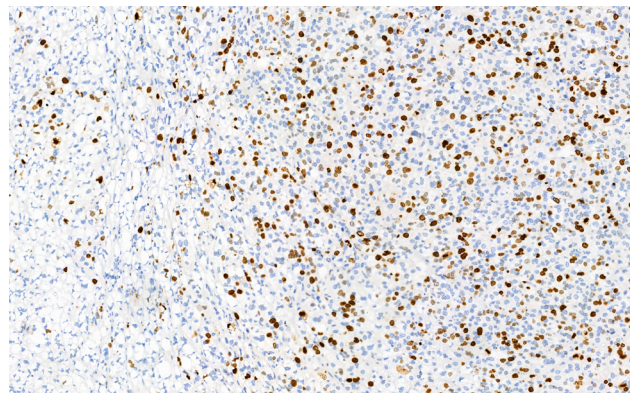


Рис. 35. Сальная карцинома. Ki-67 — ядерная экспрессия в 30 % опухолевых клеток, ув. 10
Fig. 35. Sebaceous carcinoma. Ki-67 — nuclear expression (30 % of tumor cells, × 10)

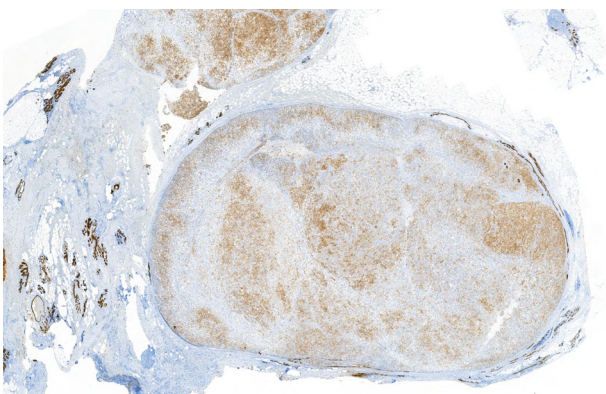


Рис. 36. Сальная карцинома. Мультицитокератины — интенсивное мембранное окрашивание опухолевых клеток, ув. 10
Fig. 36. Sebaceous carcinoma. Multicytokeratins — intense membrane staining in tumor cells (× 10)



Рис. 37. Сальная карцинома. MDM2 — выраженная ядерная экспрессия в опухолевых клетках, ув. 10
Fig. 37. Sebaceous carcinoma. MDM2 — strong nuclear expression in tumor cells (× 10)

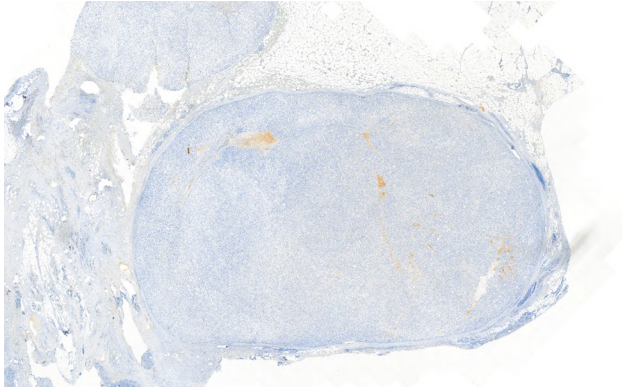


Рис. 38. Сальная карцинома. RCC — отсутствие цитоплазматического окрашивания в опухолевых клетках, ув. 10
Fig. 38. Sebaceous carcinoma. RCC — negative cytoplasmic staining in tumor cells (× 10)

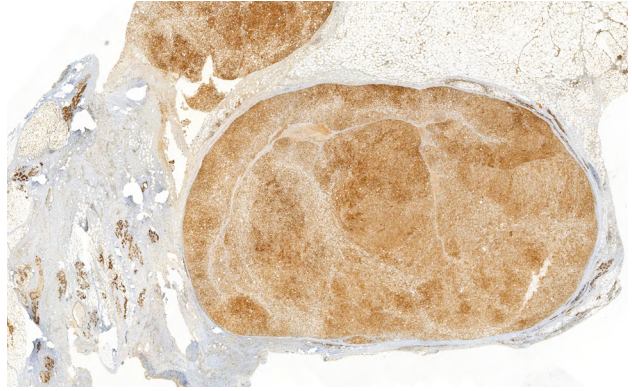


Рис. 39. Сальная карцинома. S100 — диффузное цитоплазматическое окрашивание в опухолевых клетках, ув. 10
Fig. 39. Sebaceous carcinoma. S100 — diffuse cytoplasmic staining in tumor cells (× 10)



Рис. 40. Сальная карцинома. Виментин — диффузное цитоплазматическое окрашивание в опухолевых клетках, ув. 10.
Fig. 40. Sebaceous carcinoma. Vimentin — diffuse cytoplasmic staining in tumor cells (× 10)

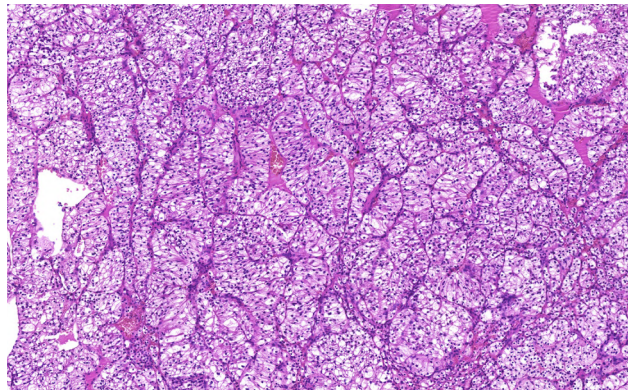


Рис. 41. Богатая гликогеном карцинома. Гематоксилин-эозин — крупные опухолевые клетки со светлой «прозрачной» гликогенизированной цитоплазмой, ув. 10.
Fig. 41. Glycogen-rich carcinoma. H&E — large tumor cells with pale “clear” glycogenated cytoplasm (× 10)

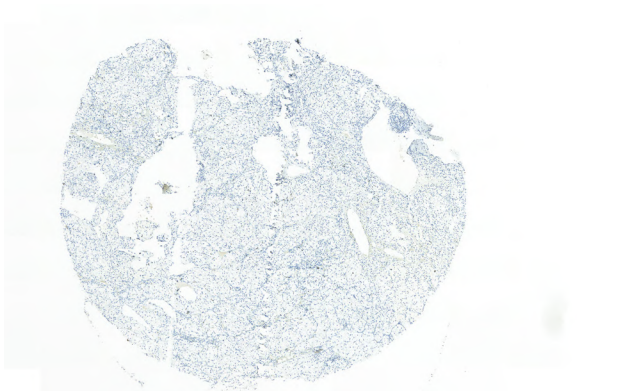


Рис. 42. Богатая гликогеном карцинома. Рецепторы эстрогенов — отсутствие ядерной экспрессии, ув. 10
Fig. 42. Glycogen-rich carcinoma. ER — negative nuclear expression (× 10)

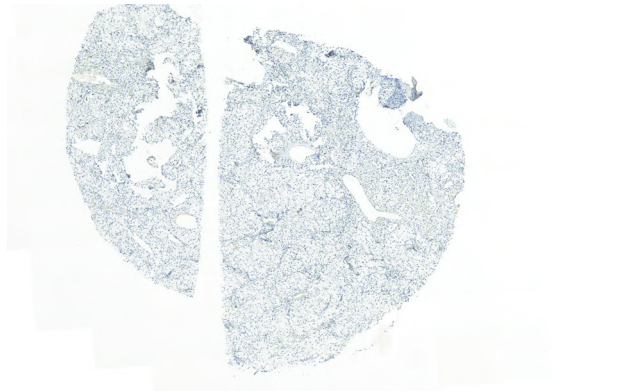


Рис. 43. Богатая гликогеном карцинома. Рецепторы прогестерона — отсутствие ядерной экспрессии, ув. 10
Fig. 43. Glycogen-rich carcinoma. PR — negative nuclear expression (× 10)

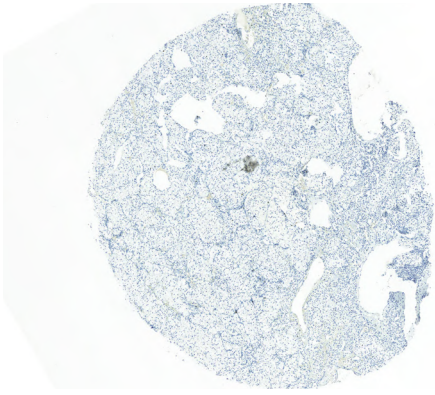


Рис. 44. Богатая гликогеном карцинома. HER2 — отсутствие мембранного окрашивания, 0 баллов, ув. 10
Fig. 44. Glycogen-rich carcinoma. HER2 — negative membrane staining (score 0, × 10)

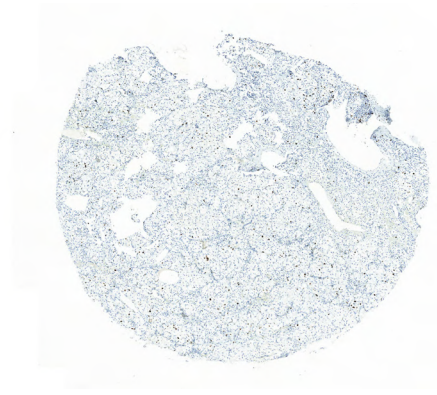


Рис. 45. Богатая гликогеном карцинома. Ki-67 — ядерная экспрессия менее чем в 5 % опухолевых клеток, ув. 10
Fig. 45. Glycogen-rich carcinoma. Ki-67 — nuclear expression (<5 % of tumor cells, × 10)